

# 核电荷半径的同位旋相关性及其微观诠释<sup>\*</sup>

雷奕安<sup>1)</sup> 曾谨言<sup>2)</sup>

(北京大学物理学院 北京 100871)

**摘要** 原子核电荷半径  $R_c$  所有的实验数据都表明,  $R_c$  系统偏离  $A^{1/3}$  律, 即随  $A$  增大  $R_c/A^{1/3}$  系统地递减, 而  $R_c/Z^{1/3}$  则比较接近于一个常量. 原子核巨单极共振能量  $E_x \propto R^{-1}$  的大量实验数据也支持这一结论. 根本原因在于  $A^{1/3}$  律与同位旋无关, 而  $Z^{1/3}$  律已部分反映了同位旋的影响. 基于壳模型, 给出了  $Z^{1/3}$  律的微观诠释. 壳模型中质子和中子谐振子势强度参数  $\omega_p$  和  $\omega_n$  的差异, 可以用  $Z^{1/3}$  律说明. 基于与 Wigner 的原子核同位旋多重态质量公式 (IMME) 相似的理论考虑, 提出了核电荷半径改进的  $Z^{1/3}$  律.

**关键词** 核电荷半径 同位旋相关性 改进的  $Z^{1/3}$  律 巨单极共振能量

## 1 引言

核电荷半径是原子核最基本的粗块性质 (bulk property) 之一. 基于核力的饱和性和核物质的近似不可压缩性, 通常用下列唯象的  $A^{1/3}$  律<sup>[1, 2]</sup> 来描述核电荷半径  $R_c$  从轻核到重核的变化 ( $A$  为核子数)

$$R_c = r_0 A^{1/3}. \quad (1)$$

目前已积累了很丰富的核电荷半径的数据<sup>[3, 4]</sup>, 它们分别来自高能电子散射 ( $e^-$ ),  $\mu$  原子 X 射线谱, 原子  $K_\alpha$  X 射线的同位素移动 ( $K_\alpha$  IS) 和原子光谱的同位素移动 (OIS). 对于很轻的原子核, 由于核子数  $A$  很小以及电荷分布的短周期壳效应 (包括形变变化等),  $R_c$  随  $A$  的变化往往有大幅度涨落, 目前尚未找到一个简单的平滑变化的表述式. 实验数据分析表明, 对于不太轻原子核 ( $A \geq 40$ ) 的电荷半径, 式 (1) 中的半径参数  $r_0$  并不为一常量. 随  $A$  增大,  $r_0$  系统地递减, 即对于轻核,  $r_0 \approx 1.30\text{fm}$ , 而对于重核,  $r_0 \approx 1.20\text{fm}$ .

多年前, 基于对当时  $\beta$  稳定核电荷半径很有限的实验数据, 文献 [5—7] 提出了如下的  $Z^{1/3}$  律 ( $Z$  为核内质子数)

$$R_c = r_p Z^{1/3}. \quad (2)$$

实验数据分析表明, 与  $A^{1/3}$  律不同, 对于轻核和重核,  $r_p$  基本上保持为常量,  $r_p \approx 1.635\text{fm}$ .  $Z^{1/3}$  律优于  $A^{1/3}$  律的根本原因在于:  $A^{1/3}$  律与同位旋无关. 在自然界中,  $\beta$  稳定核的同位旋  $T_z = (N - Z)/2 = (A - 2Z)/2$  随  $A$  增大而递增<sup>[1]</sup>, 即

$$\left(\frac{N - Z}{3A}\right)_{\beta\text{最稳定核}} \approx 2.0 \times 10^{-3} A^{2/3},$$

或  $T_z|_{\beta\text{最稳定核}} \approx 3.0 \times 10^{-3} A^{5/3}. \quad (3)$

比较式 (1) 和式 (2), 得

$$r_0 = (Z/A)^{1/3} r_p. \quad (4)$$

对于很轻的  $\beta$  稳定核,  $T_z \approx 0$ ,  $(Z/A) \approx 1/2$ , 按  $r_p \approx 1.635\text{fm}$ , 可得  $r_0 \approx 1.30\text{fm}$ . 而对于很重的  $\beta$  稳定核 (例如  $^{208}\text{Pb}$ ),  $(Z/A)^{1/3} \approx 0.733$ ,  $r_0 \approx 1.20\text{fm}$ . 由此, 可以理解为什么  $A^{1/3}$  律的半径常数  $r_0$  随  $A$  增大而逐步减小这一实验现象. 与  $A^{1/3}$  律不同,  $Z^{1/3}$  律本身是同位旋相关的. 利用  $Z = A/2 - T_z$ , 容易得出, 在  $O(T_z/A)$  一级近似下

$$R_c = r_p Z^{1/3} = r_p (A/2 - T_z)^{1/3} \approx \frac{r_p}{2^{1/3}} A^{1/3} \left(1 - \frac{N - Z}{3A}\right), \quad (5)$$

2006 - 11 - 28 收稿

\* 国家自然科学基金 (10575004, 10675006, 10435010) 资助

1) E-mail: yalei@pku.edu.cn

2) E-mail: jyzeng@pku.edu.cn

取  $r_p \approx 1.635\text{fm}$ , 并利用式 (3), 可得

$$R_c \approx 1.30A^{1/3}(1 - 2.0 \times 10^{-3}A^{2/3})\text{fm}. \quad (6)$$

尽管核电荷半径的  $Z^{1/3}$  律已提出多年<sup>[5]</sup> (在中文期刊上), 但并未引起人们广泛注意. 20 世纪 90 年代, 有人注意到  $A^{1/3}$  律与实验观测有明显的偏离. 例如 Nerlo-Pomorska & Pomorski<sup>[8]</sup> 提出了对  $A^{1/3}$  律的如下修正, 即在  $A^{1/3}$  律的基础上, 加上  $(T_z/A)$  的线性项修正,

$$R_c = \begin{cases} 1.256A^{1/3} \left(1 - 0.202 \frac{N-Z}{A}\right) \text{fm}, & A \geq 38. \\ 1.240A^{1/3} \left(1 - 0.141 \frac{N-Z}{A} - \frac{1.646}{A}\right) \text{fm}, & A < 38. \end{cases} \quad (7)$$

Warda 等<sup>[9]</sup> 用相对论平均场 (RMF) 理论计算了同位素链中各原子核的电荷半径, 发现它们近似随  $(T_z/A)$  线性变化. 他们计算所得的核电荷分布半径, 可以用下式近似拟合

$$R_c = 1.237A^{1/3} \left(1 - 0.157 \frac{N-Z}{A} - 0.646 \frac{1}{A}\right) \text{fm}. \quad (8)$$

文献 [3, 4] 中给出了迄今最完整的核电荷方均根 (rms) 半径  $\langle r^2 \rangle^{1/2} = \sqrt{\frac{3}{5}}R_c$  实验数据. 注意, 核电荷半径还依赖于核形变, 通常只考虑最重要的四极形变  $\beta$  的影响. 在考虑形变  $\beta$  的影响后, 核电荷半径较球形情况略有增加. 式 (1) 可改记为

$$R_c = \dot{r}_0 \left(1 + \frac{5}{8\pi}\beta^2\right) A^{1/3}, \quad (9)$$

$\dot{r}_0$  相当于球形核 ( $\beta = 0$ ) 情况下的核电荷半径常数. 变形核的四极形变  $\beta$  可以根据其内禀电四极矩  $Q_0$  定出. 偶偶变形核的  $Q_0$  实验值可以利用基态 ( $I^\pi = 0^+$ ) 到第一激发态 ( $I^\pi = 2^+$ ) 的约化电四极跃迁几率  $B(E2, \uparrow) = 5e^2Q_0^2/16\pi$  来提取. 文献 [10] 中给出了偶偶核  $Q_0$  现今已有的的实验数据. 图 1 给出了  $A \geq 40$   $\beta$  最稳定核的电荷分布半径常数  $\dot{r}_0$  的变化. 可以看出,  $\dot{r}_0$  随  $A$  增大而递减, 即对于轻核,  $\dot{r}_0 \approx 1.30\text{fm}$ , 而对于很重核,  $\dot{r}_0 \approx 1.20\text{fm}$ .  $R_c = \dot{r}_0 \left(1 + \frac{5}{8\pi}\beta^2\right) A^{1/3}$ ,  $R_c = \sqrt{\frac{5}{3}}\langle r \rangle^2$ ,  $\sqrt{\langle r \rangle^2}$  是方均根半径. 文献 [10] 给出了偶偶核从基态 ( $I^\pi = 0^+$ ) 到第 1 激发态 ( $I^\pi = 2^+$ ) 的约化电四极跃迁几率  $B(E2, \uparrow)$ , 并按  $Q_0 = \sqrt{\frac{16\pi}{5}} \left[\frac{B(E2, \uparrow)}{e^2}\right]^{1/2}$  提取原子核内禀电四

极矩  $Q_0$  的值. 在本文中, 四极形变参数  $\beta$  是按下列关系,  $Q_0 = \frac{3ZR_c^2}{\sqrt{5\pi}}\beta(1 + 0.158\beta)$  以及  $Q_0$  的实验值计算出来的. 在文献 [10] 中, 则是按  $Q_0 = \frac{3ZR_c^2}{\sqrt{5\pi}}\beta$  计算出来的. 当  $\beta \leq 0.10$  时, 这样计算出的  $\beta$  是精确的, 但当  $\beta > 0.10$  时, 则不够精确.

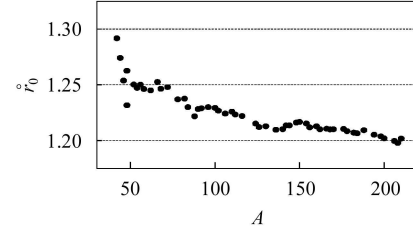


图 1 核电荷半径常数  $\dot{r}_0$  随  $A$  的变化

与核半径密切相关的一个重要观测量, 就是原子核的各种巨共振能量. 特别是巨单极共振 (GMR) 能量  $E_x$ , 它与核半径成反比,  $E_x \propto 1/R$ . 如核半径的  $A^{1/3}$  律成立, 则  $E_x A^{1/3}$  应保持为一个常量 (不依赖于  $A$ ). 实验数据分析表明, 随  $A$  增大,  $E_x A^{1/3}$  递增, (尽管  $E_x$  实验数据的误差比核电荷半径的误差大得多), 对于  $A > 50$  的核,  $E_x A^{1/3} \approx (72 - 83)\text{MeV}$ , 并不保持为一个常量, 如图 2 所示.  $E_x$  数据取自文献 [11, 12]. 不同实验室给出的同一个原子核的  $E_x$  实验值往往有一些差别, 本文采用文献 [11] 表 III 中列出的, 经过平均的  $E_x$  值.  $^{90}\text{Zr}$ ,  $^{116}\text{Sn}$ ,  $^{144}\text{Sm}$  和  $^{208}\text{Pb}$  的  $E_x$  实验值取自文献 [12].

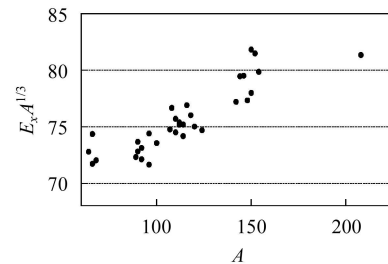


图 2 原子核巨单极共振 (GMR) 能量  $E_x \propto R_c^{-1}$  随  $A$  的变化

## 2 核电荷半径 $Z^{1/3}$ 律的微观诠释

众所周知, 在 Mayer 与 Jensen 的强自旋轨道耦合壳模型中, 原子核内的质子体系和 neutron 体系分别近似看成为在平均势场 (例如, 修正了的谐振子势) 中的无相互作用的费米子体系<sup>[1, 2]</sup>. 实验确证, 对于  $\beta$  稳定线附近的原子核, 分别存在如下质子壳和 neutron 壳, 即

$$Z = 2, 8, (14), 20, (28), 50, 82,$$

$$N = 2, 8, (14), 20, (28), 50, 82, 126.$$

为了说明单粒子能级的分布的这种壳结构, 核子的强自旋轨道耦合是必要的. 但对于描述核电荷半径这种粗块性质, 不妨假定满壳附近球形核中的质子(p)或中子(n)分别在如下谐振子势中运动,

$$V(r) = \frac{1}{2}M\omega^2 r^2. \quad (10)$$

相应的单粒子能级及其简并度(已考虑自旋自由度)分别为

$$\begin{aligned} E_k &= \left(k + \frac{3}{2}\right)\hbar\omega, \\ f_k &= (k+1)(k+2), \quad k=0,1,2,\dots, \end{aligned} \quad (11)$$

质子和中子谐振子势的强度参数 $\omega$ 分别记为 $\omega_p$ 和 $\omega_n$ . 一般说来,  $\omega_p$ 和 $\omega_n$ 并不相同, 分别依赖于质子数 $Z$ 和中子数 $N$ . 下面先讨论核质子体系的分布半径, 它涉及质子的能级填布. 对于从 $k=0$ 到 $k=K$ 壳都被质子填满的满壳核, 质子总数 $Z$ 为

$$\begin{aligned} Z &= Z(K) = \sum_{k=0}^K (k+1)(k+2) = \\ &= \frac{1}{3}(K+1)(K+2)(K+3) \approx \frac{1}{3}(K+2)^3. \end{aligned} \quad (12)$$

按照位力(virial)定理,  $\langle V \rangle = \frac{1}{2}M\omega_p^2 \langle r^2 \rangle_k = \frac{1}{2}E_k$ , 可给出

$$\langle r^2 \rangle_k = \left(k + \frac{3}{2}\right)\hbar/M\omega_p. \quad (13)$$

对于满壳核, 质子分布的方均半径 $\langle r^2 \rangle_p$ 为

$$\begin{aligned} \langle r^2 \rangle_p &= \frac{1}{Z(K)} \sum_{k=0}^K (k+1)(k+2)(k+3/2) \frac{\hbar}{M\omega_p} \approx \\ &= \frac{3}{4}(K+2) \frac{\hbar}{M\omega_p}. \end{aligned} \quad (14)$$

联合式(12)和(14), 可得

$$\hbar\omega_p = \frac{3\hbar^2}{4M\langle r^2 \rangle_p} (3Z)^{1/3}, \quad (15)$$

对于中子体系, 类似可得

$$\hbar\omega_n = \frac{3\hbar^2}{4M\langle r^2 \rangle_n} (3N)^{1/3}, \quad (16)$$

$\omega_p$ 和 $\omega_n$ 分别依赖于核内的质子数和中子数. 为保证质子和中子分布半径相同,  $\langle r^2 \rangle_p = \langle r^2 \rangle_n = \langle r^2 \rangle$ , 要求

$$\frac{\omega_p}{\omega_n} = \left(\frac{Z}{N}\right)^{1/3}. \quad (17)$$

对于很轻的 $\beta$ 稳定核,  $N \approx Z \approx A/2$

$$\begin{aligned} \hbar\omega_p \approx \hbar\omega_n \approx \hbar\omega_0 &= \frac{3\hbar^2}{4M\langle r^2 \rangle} \left(\frac{3A}{2}\right)^{1/3} = \\ &= \frac{5\hbar^2}{4MR_c^2} \left(\frac{3A}{2}\right)^{1/3}. \end{aligned} \quad (18)$$

如用 $A^{1/3}$ 律式(1)代入, 并取 $r_0 = 1.20\text{fm}$ , 则得

$$\hbar\omega_0 \approx 41A^{-1/3}\text{MeV}. \quad (19)$$

此乃原子核物理文献中常见的公式<sup>[1]</sup>, 它表示壳模型谐振子势强度参数 $\omega_0$ 近似与 $A^{1/3}$ 成比例. 注意, 式(19)是与同位旋无关的. 对于轻核,  $A^{1/3}$ 律中的半径常数 $r_0 \approx 1.30\text{fm}$ . 按此参数值, 式(19)应为 $\hbar\omega_0 \approx 35.1A^{-1/3}\text{MeV}$ , 它只适用于轻核, 而对于重核, 它与实验有较大出入. 对于一般的 $\beta$ 稳定原子核,  $N > Z$ ,  $\omega_p < \omega_n$ . 按 $R_c$ 的 $Z^{1/3}$ 律式(2)(取 $r_p = 1.635\text{fm}$ ), 以及式(15)和(17), 得

$$\hbar\omega_p = \frac{5\hbar^2}{4MR_c^2} (3Z)^{1/3} \approx 27.1Z^{-1/3}\text{MeV}, \quad (20a)$$

$$\hbar\omega_n = \left(\frac{N}{Z}\right)^{1/3} \hbar\omega_p \approx 27.1N^{-1/3}\text{MeV}. \quad (20b)$$

利用 $Z = (A/2 - T_z)$ ,  $N = (A/2 + T_z)$ , 可得

$$\begin{aligned} Z^{1/3} &= \left(\frac{A}{2} - T_z\right)^{1/3} \approx \frac{A^{1/3}}{2^{1/3}} \left(1 - \frac{2T_z}{3A}\right) = \\ &= \frac{A^{1/3}}{2^{1/3}} \left(1 - \frac{N-Z}{3A}\right), \end{aligned} \quad (21a)$$

$$\begin{aligned} N^{1/3} &= \left(\frac{A}{2} + T_z\right)^{1/3} \approx \frac{A^{1/3}}{2^{1/3}} \left(1 + \frac{2T_z}{3A}\right) = \\ &= \frac{A^{1/3}}{2^{1/3}} \left(1 + \frac{N-Z}{3A}\right), \end{aligned} \quad (21b)$$

分别代入式(20a)和(20b), 可得

$$\hbar\omega_{p,n} \approx 41.0A^{-1/3} \left(1 \mp \frac{N-Z}{3A}\right) \text{MeV}. \quad (22)$$

这是目前国际文献中常用的公式(例如, 见 Nilsson<sup>[13]</sup>), 其适用性已为核能谱学的众多实验结果所肯定. 无论对轻核和重核, 式(22)都适用. 以上就是按电荷半径的 $Z^{1/3}$ 律对它的诠释. 式(22)是与同位旋相关的, 是对式(19)的推广.

### 3 核电荷半径 $Z^{1/3}$ 律的改进

$Z^{1/3}$ 律<sup>[5]</sup>主要是根据 $\beta$ 稳定线附近的原子核的核电荷半径实验数据的分析而提出的. 根据对当时已有 $\beta$ 稳定核的电荷半径数据的分析,  $Z^{1/3}$ 律的确优于与同位旋无关的 $A^{1/3}$ 律. 近年来, 随着实验技术的改进, 远离 $\beta$ 稳定线的众多奇特核(exotic nuclei)的核电荷半径也已相当精确地测出<sup>[3, 4]</sup>. 不能奢望, 如此简单的只含一个参量的 $Z^{1/3}$ 律能很好地描述包括奇特核在内的核电荷半径. 特别是对给定 $Z$ 的一个同位素链上的诸原子核, 其电荷半径是略有变化的<sup>[7]</sup>(除反映形

变的变化之外). 把  $Z^{1/3}$  律作为一个好的出发点, 文献 [14] 提出了如下形式的改进  $Z^{1/3}$  律 (含有两个参量)

$$R_c = r_p Z^{1/3} [1 + b(\eta - \eta^*)], \quad (23)$$

式中  $\eta = N/Z = (1 + 2T_z/A)/(1 - 2T_z/A) \approx 1 + 4T_z/A$ ,  $\eta^*$  是给定  $Z$  的同位素链中  $\beta$  最稳定核的  $N/Z$  值,  $r_p = \overset{\circ}{r}_p \left(1 + \frac{5}{8\pi} \beta^2\right)$ . 该文对 1995 年以前的核电荷半径实验数据<sup>[3]</sup> 的分析表明, 改进了的  $Z^{1/3}$  律式 (23) 能较好地拟合包括奇特核在内的核半径的变化. 与原来简单的  $Z^{1/3}$  律式 (2) 相比, 方均根 (rms) 偏离进一步缩小. 文献 [14] 还给出了用 RMF 理论计算出的几个同位素链 (Ca, Ni, Zr, Sn, Pb) 的核电荷分布半径随中子数  $N$  的变化, 计算结果支持式 (23) 中的  $T_z$  线性项.

利用  $Z = A/2 - T_z$ ,  $N = A/2 + T_z$ , 式 (23) 还可以改写成 (略去很小的  $O((T_z/A)^3)$  项)

$$R_c = c_0 + c_1(T_z/A) + c_2(T_z/A)^2. \quad (24)$$

式中

$$\begin{aligned} c_0 &= r_p (A/2)^{1/3} [1 - b(\eta^* - 1)], \\ c_1 &= r_p (A/2)^{1/3} \left(-\frac{2}{3} + 4b\right), \\ c_2 &= r_p (A/2)^{1/3} 4 \left(\frac{1}{9} + b\right). \end{aligned} \quad (25)$$

注意, 与同位旋无关的参量  $c_0$ ,  $c_1$  和  $c_2$  只依赖于两个参量 ( $r_p$  和  $b$ ), 所以式 (24) 实际上是一个二参量公式.

到此, 令人想起多年以前 Wigner<sup>[15]</sup> 给出的很有名的原子核同位旋多重态质量公式 (IMME)

$$M(A, T_z) = a + bT_z + cT_z^2, \quad (26)$$

它是描述一个给定  $A$  的同位旋多重态 (isobaric multiplet) 的不同  $T_z$  核质量的公式, 式中所含 3 个独立参量  $a$ ,  $b$ ,  $c$  依赖于  $A$ , 但不依赖于  $T_z$ . Wigner 的 IMME 是基于如下假定, 即核子之间有电荷有关的二体相互作用 (charge-dependent two-body interaction), 并在波函数一级微扰近似下导出的. 对于  $T \geq 3/2$  的同位旋多重态的质量的分析表明, Wigner 的 IMME 式 (26) 很好地成立<sup>[16-18]</sup>. 与二参量的电荷半径公式 (23) 或 (24) 不同, IMME 中含有 3 个独立参量. 按相似的理论考虑, 以核电荷半径的  $Z^{1/3}$  律作为一个良好的出发点, 两参量公式 (23) 或 (24) 可进一步改进为

$$R_c(A, Z) = r_p Z^{1/3} [1 + b(T_z/A) + c(T_z/A)^2]. \quad (27)$$

式中  $r_p$ ,  $b$ ,  $c$  为 3 个独立参量. 可以期望, 这个简单的 3 参量公式能更好地描述从轻到重的包括奇特核在内的核电荷半径.

## 参考文献 (References)

- Bohr A, Mottelson B R. Nuclear Structure (Vol. I). Benjamin, New York, 1969
- Ring P, Schuck P. The Nuclear Many-Body Problem. Springer-Verlag, New York, 1980
- Fricke G et al. At. Data Nucl. Data Tables, 1995, **60**: 177
- Angeli I. At. Data Nucl. Data Tables, 2004, **87**: 185
- ZENG J Y. Acta Phys. Sin., 1957, **13**: 357; 1975, **24**: 151 (in Chinese)  
(曾谨言. 物理学报, 1957, **13**: 357; 1975, **24**: 151)
- Tseng C Y (Zeng J Y), Cheng T S, Yang F C. Nucl. Phys., 1980, **A334**: 470
- ZENG J Y. Chinese Phys., 1983, **3**: 652
- Nerlo-Pomorska B, Pomorski K. Zeit. Phys., 1993, **344**: 359; 1994, **348**: 169
- Warda M, Nerlo-Pomorska, Pomorski K. Nucl. Phys., 1998, **A635**: 484
- Raman S, Nester C W, Jr, Tikkanen P. At. Data Nucl. Data Tables, 2001, **78**: 1
- Shlomo S, Youngblood D H. Phys. Rev., 1993, **C47**: 529
- Youngblood D H, Clark H C, LIU Y W. Phys. Rev. Lett., 1999, **82**: 691
- Nilsson S G et al. Nucl. Phys., 1969, **A131**: 1; Nilsson S G. Mat. Fys. Medd. Dan. Vid. Selsk., 1955, **29**: No.16
- ZHANG S Q, MENG J, ZHOU S G et al. Eur. Phys. J, 2002, **A13**: 285; ZHANG S Q, MENG J, ZHOU S G et al. HEP & NP, 2002, **26**: 252 (in Chinese)  
(张双全, 孟杰, 周善贵等. 高能物理与核物理, 2002, **26**: 252)
- Wigner E P. Proc. of the Robert A. Welch Foundation Conference on Chemical Research, (Houston, Texas, 1957, ed. W. D. Milikan), **1**: 67
- Benenson W, Kashy E. Atomic Masses and Fundamental Constants, 1976, **5**: 154
- Benenson W, Kashy E. Rev. Mod. Phys., 1979, **51**: 527
- Britz J, Pepe A, Antony M S. At. Data Nucl. Data Table, 1998, **69**: 125

# Isospin Dependence of Nuclear Charge Radii and Its Microscopic Demonstration<sup>\*</sup>

LEI Yi-An<sup>1)</sup> ZENG Jin-Yan<sup>2)</sup>

(School of Physics, Peking University, Beijing 100871, China)

**Abstract** The analysis of experimental nuclear charge radii  $R_c$  indicates that  $R_c$  deviates systematically from the  $A^{1/3}$  law, i.e.,  $R_c/A^{1/3}$  gradually decreases with increasing  $A$ , whereas  $R_c/Z^{1/3}$  remains almost a constant. This statement is also supported by the analysis of a large amount of experimental nuclear giant monopole resonance energy data  $E_x \propto R^{-1}$ . The deviation of nuclear charge radii from the  $A^{1/3}$  law is basically caused by the isospin independence of  $A^{1/3}$  law, and the isospin dependence has been partly included in  $Z^{1/3}$  law. In the frame of nuclear shell model, a microscopic demonstration of the  $Z^{1/3}$  law is given. The difference in the harmonic oscillator potential strength between proton and neutron ( $\omega_p$  and  $\omega_n$ ) can be accounted for by the  $Z^{1/3}$  law. Similar to Wigner's nuclear isobaric multiplet mass equation (IMME), a modified  $Z^{1/3}$  law for nuclear charge radii is proposed.

**Key words** nuclear charge radius, isospin dependence, modified  $Z^{1/3}$  law, giant monopole resonance energy

---

Received 28 November 2006

<sup>\*</sup> Supported by National Nature Science Foundation of China (10575004, 10675006, 10435010)

1) E-mail: yalei@pku.edu.cn

2) E-mail: jyzeng@pku.edu.cn